

7.5. Статистика пиков на картах анизотропии

В предисловии мы уже отмечали, что наблюдательные данные, полученные с помощью экспериментов BOOMERANG и MAXIMA-1 [Bernardis de et al., 2000; Hanany et al., 2000], открыли новую эпоху в изучении спектра реликтового излучения. На измеренном угловом спектре (рис. 7.4) ясно виден пик на угловых масштабах, соответствующих спектральной гармонике с номером мультиполя $l \approx 200$. Это сахаровский пик. Однако для $l > 400$ структура анизотропии спектра реликтового излучения ещё не ясна и поэтому необходим последующий ряд экспериментов, таких как MAP и PLANCK.

Существует несколько факторов, играющих главную роль в будущих экспериментах. Например эксперименты MAP и PLANCK покроют значительно большую площадь неба, чем BOOMERANG и MAXIMA-1. К тому же в PLANCK имеется два HFI канала с $\nu \approx 545$ ГГц и $\nu \approx 857$ ГГц, которые обеспечивают разрешение $\text{FWHR} = 5'$

В данном разделе мы анализируем статистику пиков (максимумов и минимумов) на карте анизотропии реликтового излучения. Мы сравниваем эту статистику для карт, полученных в экспериментах BOOMERANG и MAXIMA-1 со статистикой

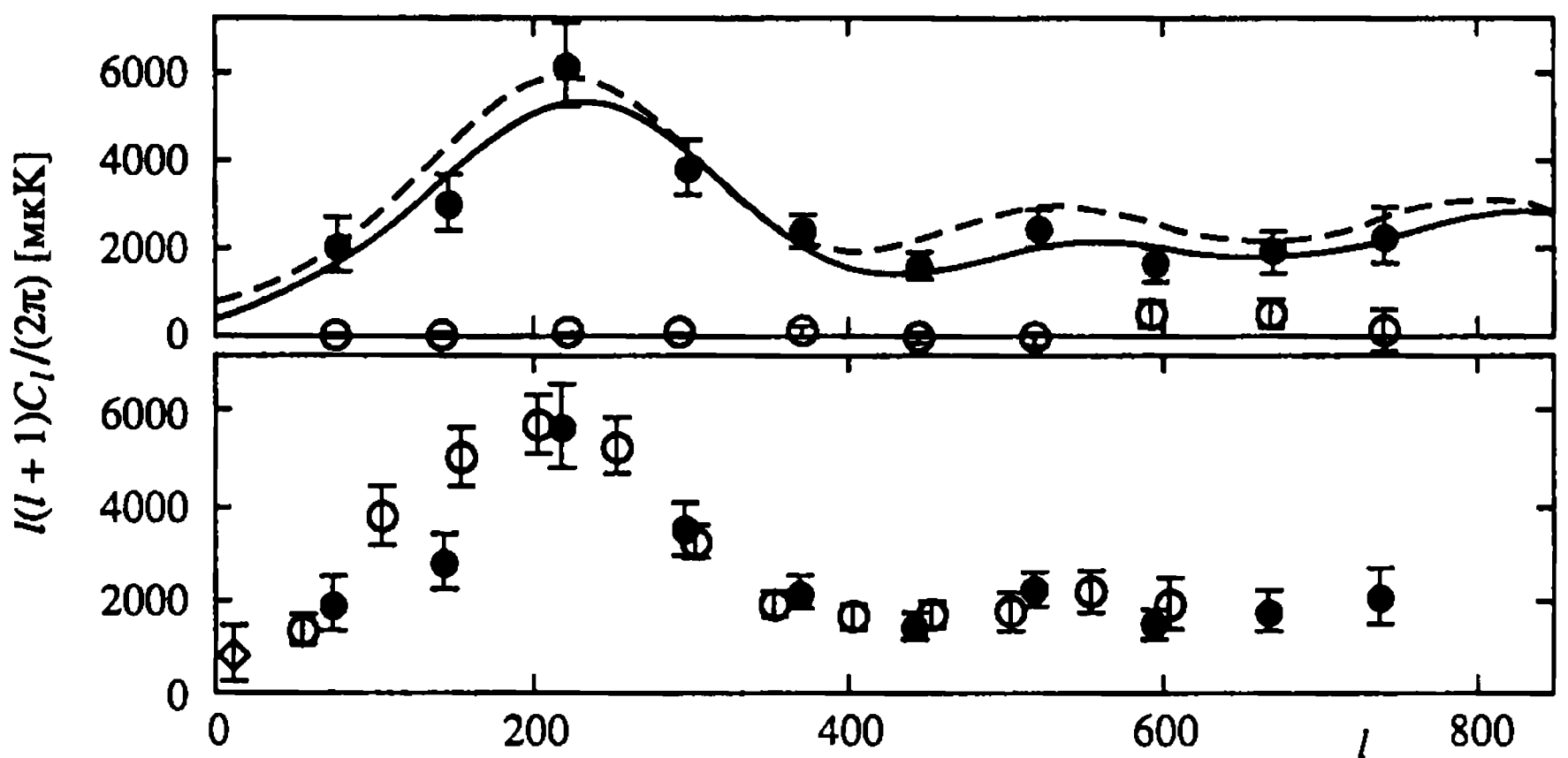


Рис. 7.4. Спектр анизотропии реликтового излучения, полученный в рамках эксперимента MAXIMA-1 [Hanany et al., 2000] (вверху), в сравнении с данными эксперимента BOOMERANG [de Bernardis et al., 2000] (внизу). Сплошная линия соответствует наиболее подходящей CDM-модели, штриховая – модели Λ CDM. Чёрные кружки соответствуют данным эксперимента MAXIMA-1, белые – данным эксперимента BOOMERANG, ромбики – данным DMR

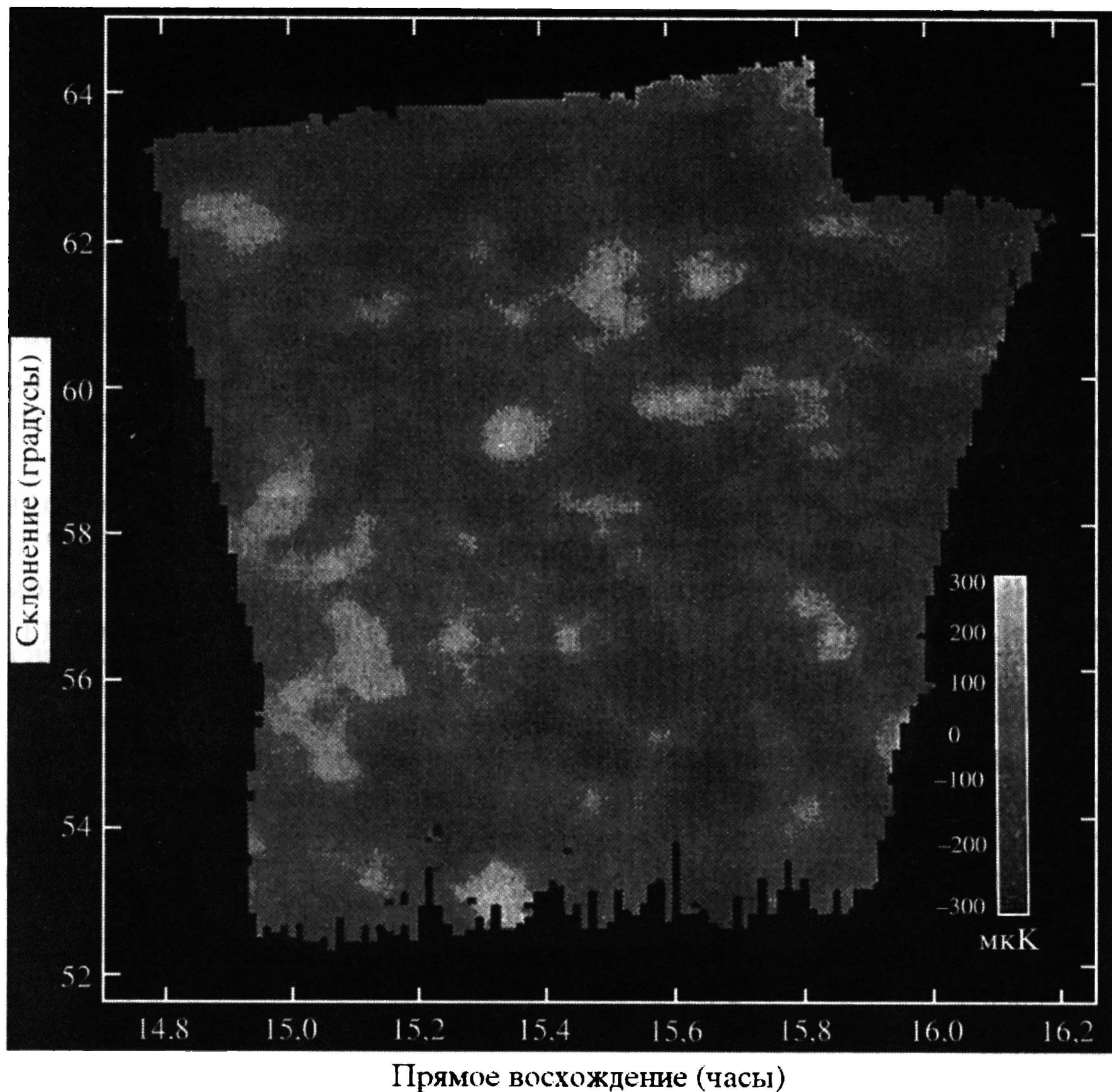


Рис. 7.5. Карта участка неба, полученная в рамках эксперимента МАХИМА-1 (использован фильтр Винера). Карта аккумулирует три 150 ГГц канала и один 240 ГГц канал

будущих наблюдений MAP и PLANCK и предсказываем некоторые свойства пиков и их форму для этих наблюдений.

Рассмотрим модель, близкую к реальной, полученной благодаря успешным балонным наблюдениям МАХИМА-1. Согласно [Nanay et al., 2000] на карте, полученной с помощью этих наблюдений, имеется пик распределения $\Delta T/T$ с высокой амплитудой (рис. 7.5). Этот пик имеет следующие координаты: склонение $\approx 58,6^\circ$, прямое восхождение $15^{\text{h}}35^{\text{m}}$. В отфильтрованной фильтром Винера карте этот пик будет иметь амплитуду $\Delta T \sim (2,3 \div 2,5)\sigma$, и величина анизотропии будет монотонно падать до уровня 1σ при $15,2^{\text{h}} < \alpha \leq 15,4^{\text{h}}$ и $58,5^\circ < \delta < 60^\circ$.

Ниже мы исследуем основные свойства строения таких пиков в будущих измерениях реликтового излучения в эксперименте PLANCK, которые будут выполняться с лучшим угловым разрешением, чем теперешние измерения. Аналогичное предсказание было предложено в работе [Bunn, Hoffman, Silk, 1995] для эксперимента на Тенерифе, в котором использовались данные COBE DMR, хотя и другим методом. Например, мы показываем, что более точные измерения не выявляют внутреннее строение в виде новых высоких ($>1,5\sigma$) пиков внутри области: упомянутой выше.

В реальном эксперименте антенна имеет конечное разрешение, а спектральные параметры зависят от диаграммы направленности θ_A и, следовательно, от количества сахаровских пиков, которые могут быть разрешены этой антенной. Это значит, что на будущих картах PLANCK строение высоких пиков $\Delta T/T$ может оказаться отличным от соответствующего строения пиков на картах, полученных с помощью BOOMERANG и MAXIMA-1.

Для всех космологических моделей спектр анизотропии реликтового излучения C_l может быть описан в виде суммы гауссовых пиков с центрами в точках максимумов l_n ($l \geq 30$) [Kotok et al., 2001]

$$\frac{l(l+1)C_l}{2N\pi} = \left\{ \sum_n A_n \exp\left[-\frac{(l-l_n)^2}{2d_n^2}\right] + 1 \right\} e^{-l^2 s^2}, \quad (7.28)$$

где n – количество пиков, d_n – ширина пика, l_n – его положение, N – нормировочный множитель для низких мультиполей (например, нормировка по COBE данным). Последний член уравнения (7.28) учитывает затухание Силка на угловом масштабе s . Заметим, что мы не ввели в уравнение (7.28) никаких низко- или высокомультипольных фильтров (функций пропускания и антенну). Это означает, что уравнение (7.28) описывает начальный спектр возмущений на небе без какого бы то ни было сглаживания. В действительности оба последних фактора очень важны и их влияние на карты $\Delta T/T$ играет решающую роль. Спектр вида (7.28) даёт информацию о влиянии каждого сахаровского пика на топологию карт $\Delta T/T$. Таким образом, используя приближение (7.28), мы можем изучить влияние первого, второго и последующих сахаровских пиков на спектральные параметры будущих карт, полученных с помощью экспериментов MAP, PLANCK и др.

Следующий вопрос связан с функцией пропускания $W(l)$ данного эксперимента. Мы будем моделировать основные свойства

функции $W(l)$ в приближении малых угловых размеров карты следующим образом:

$$G(l) = \frac{W(l)}{l} = \exp[-l(l+1)\theta_A^2] \begin{cases} l^m & l \ll 30 \\ l^{-1} & l \gg 30 \end{cases} \quad (7.29)$$

(для двухлучевой схемы низкомультитипольной фильтрации $m = 2$, а для трёхлучевой $m = 3$). Экспонента в уравнении (7.29) описывает антенну с $\theta_A \approx 7,45 \cdot 10^{-3} \left(\frac{\theta_{\text{FWHM}}}{1^\circ} \right)$. Для описания асимптот множителя уравнения (7.29) введём функцию, которая соответствует обоим пределам,

$$G(l) \approx \frac{(lR)^{m+1}}{l[1 + (lR)^{m+1}]}, \quad (7.30)$$

где R – характерный угловой масштаб (см. уравнение (7.29)) для низкомультитипольной фильтрации. Таким образом, спектральные параметры для такой модели выражаются следующим соотношением:

$$\sigma_i^2 = \int_0^\infty dl l^{2i} g(l) \left[1 + \sum_n A_n \exp\left(-\frac{(l-l_n)^2}{2d_n^2}\right) \right] e^{-l^2(s^2 + \theta_A^2)}, \quad i = 0, 1, 2. \quad (7.31)$$

Заметим, что для второго и более далёких сахаровских пиков $l_n^2/d_n^2 \gg 1$ и только для первого пика $l_n^2/d_n^2 \approx 5$. Для аналитического приближения интеграла в уравнении (7.31) требуется асимптотика $l_n^2/d_n^2 \gg 1$ для всех пиков спектра (7.28). Используя это приближение, получаем следующие формулы для спектральных параметров σ_i^2 :

$$\sigma_0^2 = \frac{1}{2} \left[2 \ln \frac{r}{\xi} - C + \sqrt{\frac{\pi}{2}} \sum_n A_n \frac{d_n}{l_n} \exp\left(\frac{-l_n^2 \xi^2}{1 + 2d_n^2 \xi^2}\right) \cdot (1 + 2d_n^2)^{1/2} \right], \quad (7.32)$$

$$\sigma_1^2 = \frac{1}{2\xi^2} + \sqrt{\frac{\pi}{2}} \sum_n \frac{A_n l_n d_n \exp\left(\frac{-l_n^2 \xi^2}{1 + 2d_n^2 \xi^2}\right)}{(1 + 2d_n^2 \xi^2)^{3/2}} \left[1 + \Phi\left(\frac{l_n}{d_n \sqrt{2(1 + 2d_n^2 \xi^2)}}\right) \right], \quad (7.33)$$

$$\sigma_2^2 = \frac{1}{2\xi^4} + \sqrt{\frac{\pi}{2}} \sum_n \frac{A_n l_n^3 d_n \exp\left(\frac{-l_n^2 \xi^2}{1+2d_n^2 \xi^2}\right)}{(1+2d_n^2 \xi^2)^{7/2}} \left[1 + \Phi\left(\frac{l_n}{d_n \sqrt{2(1+2d_n^2 \xi^2)}}\right) \right]. \quad (7.34)$$

Здесь C – константа Эйлера, $\xi^2 = \theta_A^2 + s^2$, $\Phi(x) = 2/\sqrt{\pi} \int_0^x dx e^{-x^2}$ – интеграл вероятности. Как видно из уравнения (7.32), для расчёта дисперсии σ_0^2 важен только первый сахаровский пик. Влиянием второго и последующих пиков можно практически пренебречь из-за падения амплитуды A_n и соотношения $d_n l_n$. Однако эти пики определяют топологическое строение карт $\Delta T/T$ (см. уравнения (7.35), (7.36)) – например, количество максимумов и минимумов для различных порогов $\nu_n \sigma_0 = \Delta T/T$. Уравнения (7.33) и (7.34) описывают реальную модель с $d_n^2 \xi^2 \ll 1$ и $l_n^2 \xi^2 \leq 1$. В этой модели плотность всех пиков при $\nu(-\infty, \infty)$ выражается особенно просто,

$$N_{PK}^+ = N_{PK}^- = \frac{1}{8\pi\sqrt{3}} \frac{\sigma_2^2}{\sigma_1^2} (\text{ср})^{-1}, \quad (7.35)$$

где N_{PK}^+ и N_{PK}^- – плотности всех максимумов и минимумов соответственно.

Рассмотрим теперь модельную ситуацию, в которой все сахаровские пики сглажены ($A_n = 0$). Для такой модели спектральные параметры θ_* и γ имеют вид

$$\theta_*^2 = 2\xi^2, \quad \gamma = \left(2 \ln \frac{R}{\xi} - C \right)^{-1/2} \quad (7.36)$$

и плотности всех максимумов и минимумов произвольной высоты суть $N_{PK}^+ = N_{PK}^- = \frac{1}{8\pi\sqrt{3}} \xi^{-3}$. Если для некоторого $\Delta T/T$ эксперимента обозначить степень покрытия неба через f_{sky} (например, $f_{\text{sky}} \approx 0,3\%$ для эксперимента МАХИМА-1), то количество максимумов (или минимумов) на наблюдательной карте будет

$$N_{\text{max}} \approx 16 \left(\frac{f_{\text{sky}}}{0,003} \right) \left(\frac{\theta_{\text{FWHM}}}{1^\circ} \right)^{-2} \quad (7.37)$$

Согласно [de Bernardis et al., 2000; Hanany et al., 2000] для экспери-

ментов MAXIMA-1 и BOOMERANG антенна соответствует $\text{FWHM} \approx 10'$. Это означает, что при отсутствии сахаровских пиков в спектре мы можем обнаружить 576 максимумов на соответствующих картах. Однако из уравнений (7.32)–(7.34) следует, что наличие сахаровских пиков в первичном спектре уменьшает количество пиков на карте до 271. Таким образом, благодаря нашему анализу становится ясно, что влияние сахаровских пиков ведёт к уменьшению примерно в два раза количества горячих и холодных пятен на карте.

Следующий вопрос, который будет нас интересовать, это насколько чувствительна топология карты $\Delta T/T$ к амплитудам второго A_2 и третьего A_3 пиков, если предположить, что амплитуда и положение первого пика известны. Чтобы дать ответ на этот вопрос, сравним $\gamma(A_2, A_3)$ и $N_{pk}(A_2, A_3)$ для следующих моделей. В первой модели берём амплитуду A_1 , соответствующую данным [Hanany et al., 2000], а координаты и ширины последующих пиков будем считать такими: $l_1 = 210$ при ширине $d_1 = 95$, $l_2 = 580$ при ширине $d_2 = 110$ и $l_3 = 950$ при ширине $d_3 = 130$. Соответствующие графики даны на рис. 7.6.

Следующая модель (рис. 7.7) соответствует гипотетической ситуации, когда амплитуда первого доплеровского пика в два раза меньше, чем в предыдущем случае. Как видно из уравнений (7.32)–(7.34) и рисунков 7.6 и 7.7, в этой второй “игрушечной модели” структура спектральных параметров $\gamma(A_2, A_3)$ и $N_{pk}(A_2, A_3)$ коренным образом изменяется. Количество максимумов возрастает и становится больше 420, тогда как параметр γ практически сохраняет своё значение $\gamma \approx 0,4 \div 0,47$. Этот результат важен и для анализа глобальной и локальной топологий карт. В экспериментах BOOMERANG и MAXIMA-1 положения и амплитуда первого сахаровского пика в спектре C_l были измерены с точностью 10%. Это означает, что теоретически предсказанное количество пиков реликтового излучения на наблюдательных картах может измениться от 263 до 279 из-за этой 10-процентной погрешности. Разница в 16 пиков соответ-

ствует $\frac{\delta N}{N} \sim N^{-1/2}$ статистической флуктуации числа пиков N на карте практически без особых изменений параметра γ . В целом, основываясь на приведённых выше результатах, можно констатировать, что распределение пиков на картах MAXIMA-1 соответствует гипотезе о гауссовой природе сигнала.

Однако возникает вопрос: как изменится локальная топология карты реликтового излучения при увеличении разрешающей способности приёмной аппаратуры и уменьшении уровня её шумов? Смогут ли будущие измерения выявить внутреннее строение пиков, которые были найдены благодаря экспериментам BOOMERANG и MAXIMA-1? Например, смогут ли они обнаружить новые пики в тонкой структуре внутри области $0 \leq \nu \leq 2$? И если да, то какова будет типичная высота этих пиков? Ответы на эти вопросы зависят от пик-пик корреляции на картах высокого разрешения. Разброс количества пиков от одной реализации к другой по сетке Ω_p связан с пик-пик корреляционной функцией C_{pk-pk} следующим образом:

$$\langle (\Delta N_{pk}^+)^2 \rangle / \langle N_{pk}^+ \rangle^2 = \langle N_{pk}^+ \rangle^{-1} + \int \frac{d\Omega_{\bar{q}} d\Omega_{\bar{q}'}}{\Omega_p^2} C_{pk-pk}(\bar{q} - \bar{q}'), \quad (7.38)$$

где $\langle N_{pk}^+ \rangle = n_{pk}^+(\nu_l) \Omega_p$, $n_{pk}^+(\nu_l)$ – концентрация максимумов с высотой ν выше некоторого порога ν_l . Заметим, что первый член уравнения (7.38) соответствует пуассоновскому распределению пиков. Сравнительно недавно Хивенс и Снетс [Heavens, Sheth, 1999] провели аналитический и численный расчёты пик-пик корреляционной функции и показали, что C_{pk-pk} стремится к нулю при $\theta < \theta_*$ и достигает отрицательного значения $C_{pk-pk} = -1$ при $\theta = 0$. Этот результат отражает тот факт, что разные высокие пики не могут находиться близко друг к другу. Так, например, два высоких пика с амплитудами $\nu_1 \sim \nu_2 \sim (2 \div 2,5)\sigma$ должны отстоять друг от друга на расстояние $\theta \geq \theta_*$. Согласно работе [Heavens, Sheth, 1999] типичный угловой масштаб θ_* для наиболее предпочтительной космологической модели Λ CDM близок к $20'$. Этот масштаб в два раза больше, чем FWHM в экспериментах BOOMERANG и MAXIMA-1 и в четыре раза больше, чем в эксперименте PLANCK. Полезно, однако, отметить, что на хорошо разрешённой карте внутри упомянутой области вокруг высокого пика может оказаться около десяти низкоамплитудных $\nu \leq 1$ пиков. Таким образом, можно заключить, что изолированные $(2 \div 2,5)\sigma$ пики, обнаруженные на плохо разрешённых картах BOOMERANG и MAXIMA-1, проявят себя как изолированные пики на картах PLANCK.

Вернёмся к рассмотрению высокого пика с $\sigma = 58,6^\circ$, $RA = 15^h 35^m$ на карте MAXIMA-1. Расположение этого пика

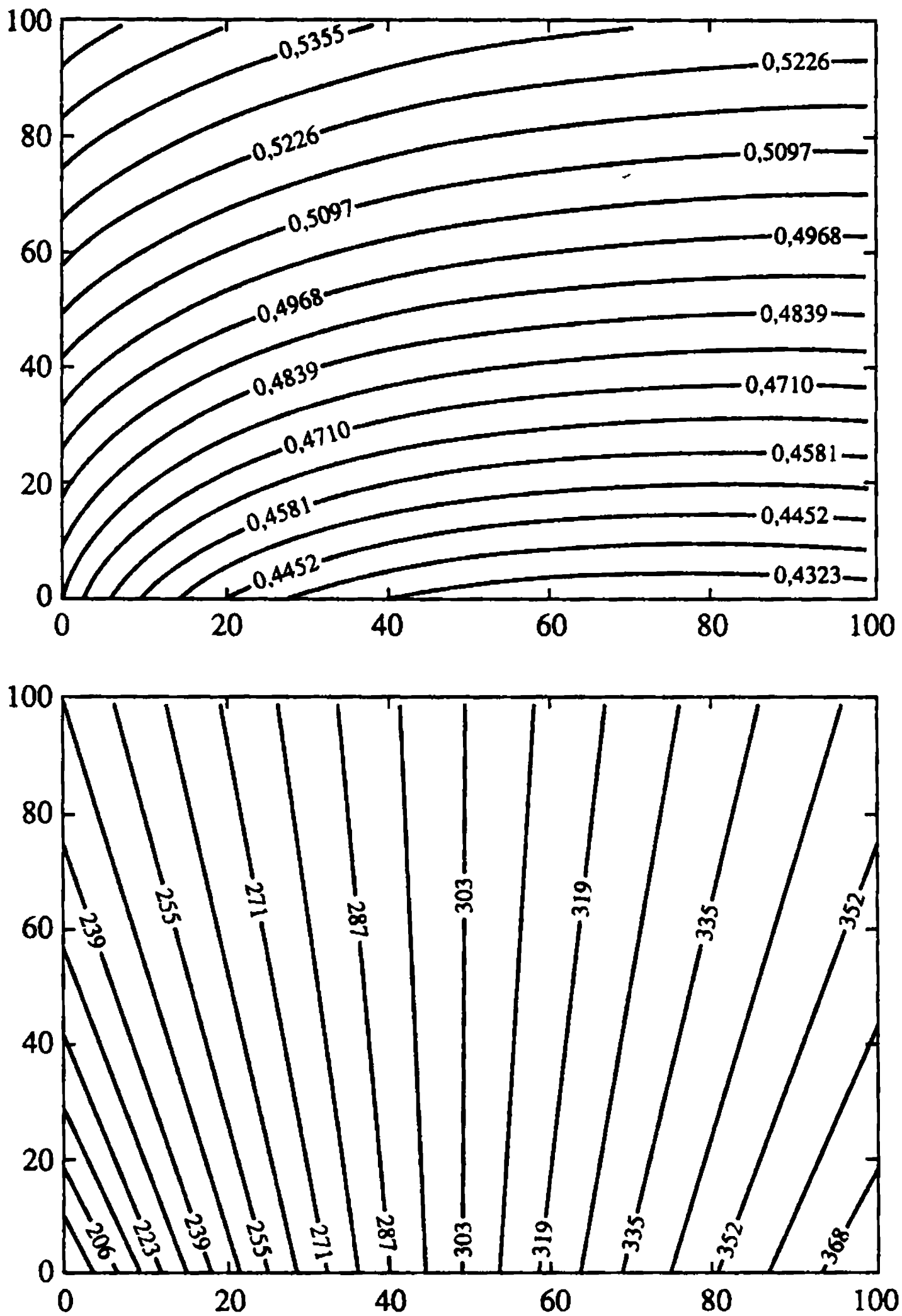


Рис. 7.6. Зависимость $\gamma(x, y)$ (вверху) и $N_{pk}(x, y)$ (внизу) от параметров $x = 10^2 A_2/A_1$ (горизонтальная ось) и $y = 10^2 A_3/A_1$ (вертикальная ось). Числа на кривых соответствуют значениям $\gamma(x, y)$ и $N_{pk}(x, y)$. Отметим, что точка $x = 26$, $y = 46$ соответствует амплитудам первого и двух следующих доплеровских пиков согласно экспериментам MAXIMA-1 и BOOMERANG

практически не зависит от хорошего углового разрешения будущего эксперимента PLANCK, а его амплитуда может быть описана следующим образом. Представим себе, что благодаря идеальному эксперименту с антенной в виде δ -функции найден самый высокий пик с координатами $\bar{\delta}$, \overline{RA} . Амплитуду такого

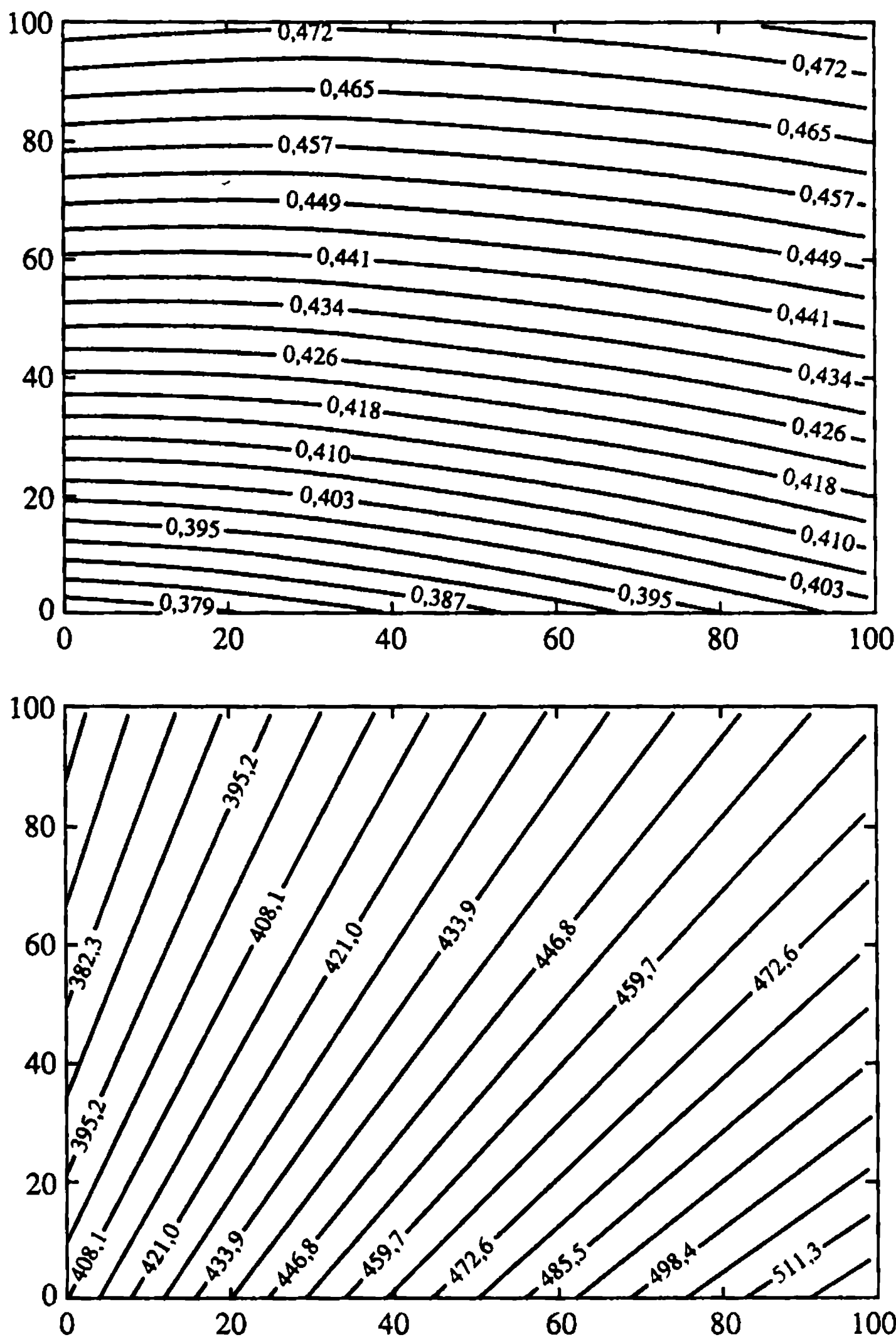


Рис. 7.7. То же, что и на рис. 7.6, но для игрушечной модели с амплитудой первого сахаровского пика в два раза меньшей, чем на рис. 7.6

пика, измеренную в единицах дисперсии, можно выразить в виде

$$v_{in} = \Delta T / \sigma_{0(in)}, \quad (7.39)$$

где $\sigma_{0(in)}$ соответствует уравнению (7.33) при $\theta = 0$ и $\xi = s$. Для простоты предположим, что распределение $\Delta(x, y)$ вокруг точки максимума гауссово с характерными масштабами a и $b = ka$,

k – константа

$$\Delta T(x, y) = v_{\text{in}} \sigma_{0(\text{in})} \exp\left(-\frac{x^2}{2a^2} - \frac{y^2}{2b^2}\right), \quad (7.40)$$

параметр a пропорционален типичному корреляционному масштабу первичного сигнала. Следуя [ВЕ], можно описать локальную форму пика высотой v , измеряя радиальную кривизну Γ и “эллиптичность” ε в полярных координатах θ и φ ,

$$\delta(\bar{\theta}, \bar{\varphi}) = \sigma_{0(\text{in})} \left[v_{\text{in}} - \frac{1}{2} \gamma \Gamma \left(\frac{\bar{\theta}}{\theta_c} \right)^2 (1 + 2e_1 \cos 2\bar{\varphi}) \right]. \quad (7.41)$$

Пусть $\theta^2 = x^2 + y^2$ и $\cos 2\varphi = \frac{x^2 - y^2}{x^2 + y^2}$. После этого находим

$$a^2 = \frac{v_{\text{in}} \theta_c^2}{(1 + 2e) \gamma \Gamma}, \quad b^2 = \frac{v_{\text{in}} \theta_c^2}{(1 - 2e) \gamma \Gamma}, \quad \kappa^2 = \frac{1 + 2e_1}{1 - 2e_1}. \quad (7.42)$$

Учитывая эксцентricность, переписываем последнее соотношение уравнения (7.42) в виде

$$\kappa^2 = 1/(1 - \varepsilon^2). \quad (7.43)$$

Сравним два эксперимента, которые бы обследовали одну и ту же часть неба в окрестности пика с различным разрешением θ_1 и θ_2 . Предположим, что θ_1 соответствует эксперименту МАХИМА-1, а θ_2 – эксперименту PLANCK ($\theta_1 \approx 2\theta_2$). Обозначим амплитуду максимума в плохо разрешённом эксперименте через v_{maxima} , а в хорошо разрешённом эксперименте – v_{planck} . Для таких моделей амплитуда выражается уравнением

$$\tilde{\Delta T}_j(x, y) = \frac{1}{2\pi\theta_j^2} \int dx' dy' \Delta T(x', y') \exp\left[-\frac{(\bar{r} - \bar{r}')^2}{2\theta_j^2}\right], \quad (7.44)$$

где индекс $j = 1, 2$ соответствует θ_1 и θ_2 , а $\bar{r}(x, y)$ и $\bar{r}(x', y')$ являются векторами в декартовой системе координат, которые берут начало в центральной точке максимума. Вид функции $\tilde{\Delta T}_j(x, y)$ из уравнения (7.40) для плохо и хорошо разрешённых экспериментов описывается следующим уравнением:

$$\tilde{\Delta T}_j(x, y) = \frac{v_{\text{in}} \sigma_{0(\text{in})} ab}{\left[(a^2 + \theta_j^2)(b^2 + \theta_j^2)\right]^{1/2}} \exp\left[-\frac{x^2}{2(a^2 + \theta_j^2)} - \frac{y^2}{2(b^2 + \theta_j^2)}\right]. \quad (7.45)$$

Эта кривая определяет параметр $\xi^2 = (b^2 + \theta^2)/(a^2 + \theta^2)$, который можно измерить в окрестности пика при некотором пороге $v_1 \sigma_0^{(1)}$, где $\sigma_0^{(1)}$ – дисперсия возмущений в плохо разрешённом эксперименте. В результате, согласно уравнению (7.41), амплитуда пика записывается как

$$V_{\text{maxima}} \sigma_0^{(1)} = \frac{v_{\text{in}} \sigma_0^{(\text{in})} \kappa}{\xi_1 (1 + \theta_1^2 / a^2)}. \quad (7.46)$$

Для хорошо разрешённых экспериментов из того же уравнения (15) имеем

$$V_{\text{planck}} \sigma_0^{(2)} \approx \frac{v_{\text{in}} \sigma_0^{(\text{in})} \kappa}{\left[\left(1 + \theta_2^2 / a^2\right) \left(\kappa^2 + \theta_2^2 / a^2\right) \right]^{1/2}}, \quad (7.47)$$

а поскольку разница между $\sigma^{(\text{in})}$, $\sigma^{(1)}$ и $\sigma^{(2)}$ всего лишь логарифмическая, имеем

$$V_{\text{planck}} \approx V_{\text{maxima}} \frac{\xi_1 (1 + 4\mu^2)}{\left[(1 + \mu^2) (\kappa^2 + \mu^2) \right]^{1/2}}. \quad (7.48)$$

Например, для пика из MAXIMA-1 с координатами $\delta = 58,6^\circ$, $\alpha = 15^{\text{h}}35^{\text{m}}$ это отношение равно $\sim 1,2 \div 1,4$. Принимая во внимание этот результат, мы можем трансформировать пики с $v_1 \approx 2 \div 3$ из карты MAXIMA-1 в будущую карту PLANCK. Фактически это означает, что рассматриваемый нами пик с $\delta \approx 58,6^\circ$ и $\alpha = 15^{\text{h}}35^{\text{m}}$ соответствуют максимуму в распределении первичного сигнала на уровне $v \approx 4$. Совершенно очевидно, что аналогичное предсказание можно сделать и по поводу высокоамплитудных пиков на карте радионеба, полученной в эксперименте BOOMERANG.

7.6. Кластеризация пиков на картах анизотропии

При анализе структуры ΔT в окрестности точек экстремумов мы уже использовали результаты теории кластеризации пиков случайных гауссовых полей, астрофизические приложения которой были детально исследованы в работах [BBKS; BE; D. Novikov, Jørgensen, 1996a,b; Heavens, Sneath, 1999]. Очевидно, что в допол-